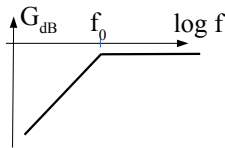


## Problème : Filtrage

1. On souhaite éliminer le bruit afin de conserver, lors de l'écoute, une bonne qualité sonore. Quel type de filtre faut-il envisager ?

**Il faut un passe-haut pour éliminer les basses fréquences.**



2. Quelle valeur choisir pour  $f_0$  ?

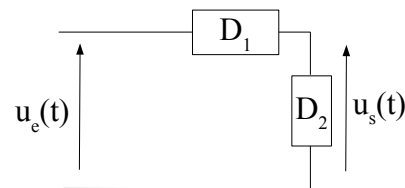
**500 Hz est un bon choix. Il y a ainsi une décade d'écart avec le bruit donc il est bien atténué, mais le signal audio tombe largement dans la partie passante du filtre.**

3. On adopte pour le schéma du filtre la structure suivante :

Quels dipôles faut-il choisir pour  $D_1$  et  $D_2$  ?

**$D_1$  : condensateur /  $D_2$  : résistance**

**$D_1$  : résistance /  $D_2$  : bobine**



**Faire des schémas équivalents BF et HF pour chacun des filtres proposés.**

4. Quelle est la bonne forme canonique pour la fonction de transfert de ce filtre ?

**En faisant ici encore des schémas BF et HF, on s'aperçoit que ce filtre est un passe-bande.**

$$H(jx) = \frac{H_0 \cdot j \frac{x}{Q}}{1 + j \frac{x}{Q} - x^2} \text{ est seule forme canonique parmi celles proposées qui correspond à un passe-}$$

**bande.**

5. Pour avoir une fréquence propre  $f_0$  d'environ 3 kHz, on utilise une bobine de  $L = 10$  mH. Quel condensateur choisir ?

$$C = 1/4 \pi^2 f_0^2 L = 280 \text{ nF}$$

6. Quelle résistance faut-il alors choisir pour avoir un facteur de qualité  $Q = 10$  ?

$$R = \frac{1}{Q} \sqrt{\frac{L}{C}} = 19 \Omega$$

7. On considère que le bruit à 50 Hz est un signal sinusoïdal d'amplitude 2 V. Quelle est l'amplitude de ce bruit en sortie du filtre ?

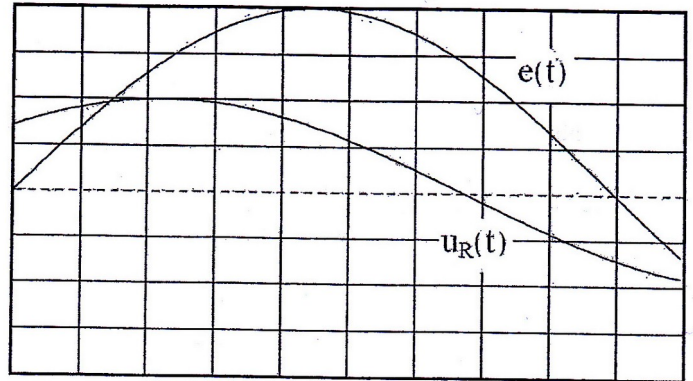
**À 50 Hz on lit  $G_{dB} = -50$  dB donc  $S = E \cdot 10^{\frac{G_{dB}}{20}} = 6$  mV**

8. On envoie en entrée un signal sinusoïdal  $e(t)$  de fréquence  $f_1$  et on observe à l'oscilloscope  $e(t)$  et  $s(t) = u_R(t)$ .

Quel est le déphasage de  $u_R(t)$  par rapport à  $e(t)$  ?

**+45° : positif car  $u_R(t)$  est en avance sur  $e(t)$  et il y a un décalage de 2,25 carreaux pour une période de 18 carreaux donc déphasage en degrés :**

$$\frac{360 * 2,25}{18} = 45^\circ$$



9. Que dire de la fréquence  $f_1$  par rapport à  $f_0$  ?

$f_1$  est légèrement inférieure à  $f_0$   
se lit sur le diagramme de Bode en phase pour un déphasage de 45°

10. Lorsque  $f \gg f_0$ , que peut on affirmer pour ce filtre ?

Son diagramme de Bode en gain présente une pente à -20 dB/dec par lecture graphique

il se comporte en intégrateur

car si  $G_{dB} = cte - 20 \log \omega$  alors  $\underline{H} = \frac{cte_2}{j\omega}$  ce qui correspond à une intégration.

Problème : mesure de distance et de vitesse par radar

1. a)  $\lambda = \frac{c}{f}$  AN:  $\lambda = 0,100 \text{ m}$

À l'émission d'une impulsion, période  $T_{\text{imp}} = \frac{1}{f}$   
Donc  $N = \frac{\tau}{T_{\text{imp}}} \Rightarrow N = \tau f$  AN:  $N = 3,0 \cdot 10^3$

1. b) Il faut un temps  $t$  à l'impulsion pour parcourir la distance  $2d$  à la vitesse  $c$  ( $\Delta$  aller-retour):  
 $2d = ct \Rightarrow d = \frac{ct}{2}$

AN:  $d_A = 450 \text{ m}$ ;  $d_B = 12,0 \text{ km}$ ;  $d_C = 13,5 \text{ km}$

1. c) L'antenne ne peut pas détecter un signal tant qu'elle émet une impulsion. Il faut donc que la date de l'écho vérifie

$t > \tau \Rightarrow \frac{2d}{c} > \tau \Rightarrow d > \frac{c\tau}{2} = d_{\text{min}}$

AN:  $d_{\text{min}} = 150 \text{ m}$

2)  $\frac{\Delta f}{f} = \frac{f' - f}{f} = -\frac{v}{c}$  AN:  $\frac{\Delta f}{f} = -5 \cdot 10^{-7} = -0,00005\%$

Il faut une mesure de fréquence très précise pour pouvoir en déduire  $v$  avec assez de chiffres significatifs: très difficile d'en faire de cette technique.

- 3) - la première impulsion, émise à  $t_0 = 0$ , revient à  $t = \frac{2d}{c}$   
- la  $n^{\text{ème}}$  impulsion, émise à  $t_0' = T$ , parcourt une distance  $2 \times (d + vT)$  et revient donc à  $t' = T + \frac{2(d + vT)}{c}$

On a donc un décalage temporel

$\Delta t = t' - t = T \left(1 + \frac{2v}{c}\right)$  AN:  $\Delta t = 100 \mu\text{s}$

Avec la précision des données, on ne peut pas distinguer  $\Delta t$  et  $T$  donc cette méthode n'est pas non plus exploitable car elle nécessite trop de précision.

4) Entre deux impulsions, la cible avance de  $vT$ . La 2<sup>ème</sup> impulsion a donc une distance  $2vT$  de plus à parcourir de déphasage du 2<sup>ème</sup> écho par rapport au 1<sup>er</sup> écho donc

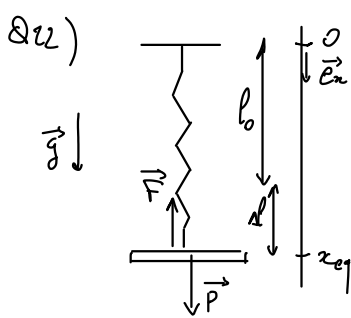
$$\varphi = k 2vT \quad \text{avec } k = \frac{2\pi}{\lambda} \text{ vecteur d'onde}$$

soit 
$$\varphi = \frac{4\pi v T}{\lambda}$$

avec  $v = 150 \text{ m.s}^{-1}$   $\varphi = 1,8 \text{ rad } (\approx 100^\circ)$

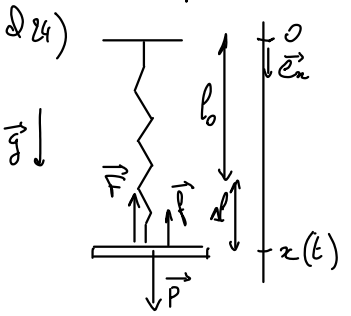
→ tout à fait mesurable

Problème : Le stabilisateur d'image (source CCINP)



Système étudié : { la plaque } Ref. terrestre supposé galiléen  
 BDF : le poids  $\vec{P} = m\vec{g} = +mg \vec{e}_z$   
 la force de rappel  $\vec{F} = -kx \vec{e}_z = -k(x_{eq} - l_0) \vec{e}_z$   
 À l'équilibre  $\vec{P} + \vec{F} = \vec{0}$   
 $\Rightarrow$   $x_{eq} = l_0 + \frac{mg}{k}$

Q23) D'après l'énoncé, la boîte subit une accélération donc elle constitue un référentiel non galiléen.



Syst. étudié : { la plaque } . Ref. de la boîte non galiléen.  
 L'énoncé fournit  $\vec{P} + \vec{F} + \vec{f} + \vec{F}_{ic} = m \ddot{x} \vec{e}_z$   
 $\Rightarrow$   $mg - k(x - l_0) - d\dot{x} - m a(t) = m \ddot{x}$   
 $\Rightarrow \ddot{x} + \frac{d}{m} \dot{x} + \frac{k}{m} x = \frac{k}{m} l_0 + g - a(t)$   
 $= \frac{k}{m} x_{eq} - a(t)$

de la forme  $\ddot{x} + \frac{\omega_0}{Q} \dot{x} + \omega_0^2 x = f(t)$   
 avec  $\omega_0 = \sqrt{k/m}$ ,  $d = \frac{1}{2} \sqrt{km}$ ,  $f(t) = \omega_0^2 x_{eq} - a(t)$

Q25) a) En basse fréquence,  $\omega \ll \omega_0$  donc  $\omega^2 \ll \omega_0^2$  et  $(\frac{\omega_0 \omega}{Q})^2 \ll \omega_0^2$ .

On a alors  $X_m \sim \frac{A_m}{\omega_0^2}$  :  $X_m$  est prop. à  $A_m$ , ce qui ne suffit pas pour conclure que  $X(t)$  prop. à  $a(t)$ . Il faut aussi étudier leur déphasage.  
 L'éq. diff. se réécrit  $\ddot{X} + \frac{\omega_0}{Q} \dot{X} + \omega_0^2 X = -A_m \cos(\omega t)$  avec  $X = x - x_{eq}$   
 passage en complexes :  $(-\omega^2 + j \frac{\omega \omega_0}{Q} + \omega_0^2) X_m e^{j\phi} e^{j\omega t} = -A_m e^{j\omega t}$   
 En BF, on obtient  $\omega_0^2 X_m e^{j\phi} \sim -A_m$   
 soit  $X_m e^{j\phi} \sim \frac{-A_m}{\omega_0^2}$  qui est un réel négatif  
 donc  $|\phi = \pm \pi|$

On a donc finalement en BF :  $X(t) \sim \frac{A_m}{\omega_0^2} \cos(\omega t \pm \pi) = \frac{-A_m}{\omega_0^2} \cos(\omega t)$   
 $\Rightarrow$   $X(t) \sim \frac{-1}{\omega_0^2} a(t) \rightarrow$  proportionnalité

Q25) b) On en déduit directement  $X(t) = \frac{-m}{k} a(t)$  en BF.

Q26)  $f_0 = \frac{\omega_0}{2\pi} \approx 10^3$  Hz ce qui est très supérieur aux fréquences du mouvement de la main (max 30 Hz).

La condition évoquée en Q25 est bien remplie : la relation de proportionnalité permet de mesurer  $a(t) \rightarrow$  c'est un accéléromètre.